

# 基于虚拟仪器技术的阻抗分析仪设计与开发<sup>\*</sup>

祁雨<sup>1</sup> 邢兰昌<sup>1</sup> 刘昌岭<sup>2,3</sup> 陈强<sup>2,3</sup> 刘乐乐<sup>2,3</sup>

(1. 中国石油大学(华东)信息与控制工程学院 青岛 266580;

2. 青岛海洋地质研究所国土资源部天然气水合物重点实验室 青岛 266071;

3. 海洋科学与技术国家实验室海洋矿产资源评价与探测技术功能实验室 青岛 266071)

**摘要:** 提出了一种基于虚拟仪器技术的阻抗分析仪设计方法,采用自动平衡电桥阻抗测量法开发了一台阻抗分析仪。该阻抗分析仪利用信号发生卡输出电压激励信号、采用高速数据采集卡进行两通道电压同步采集、以 LabVIEW 为平台开发测控软件实现仪器板卡控制、阻抗测量以及数据分析和处理。测试结果显示:在频率 20 Hz~500 kHz、阻抗 1  $\Omega$ ~500 k $\Omega$  范围内,该阻抗分析仪测量误差小于 5%;其频率扫描点数、测量结果的显示和保存方式可通过软件进行灵活配置。基于虚拟仪器技术的阻抗分析仪通用性和扩展性强、测试范围广、操作简单便捷。根据实际的测量需求可灵活选择不同性能指标的信号发生卡、数据采集卡以及阻抗测量电路元件参数,开发成本可控且开发周期短,可广泛应用于科研和教学实验室仪器的开发。

**关键词:** 阻抗分析仪;虚拟仪器;测控软件;阻抗测量;仪器控制;设计与开发

**中图分类号:** TN06 **文献标识码:** A **国家标准学科分类代码:** 510.1099

## Design and development of an impedance analyzer based on the virtual instrument technique

Qi Yu<sup>1</sup> Xing Lanchang<sup>1</sup> Liu Changling<sup>2,3</sup> Chen Qiang<sup>2,3</sup> Liu Lele<sup>2,3</sup>

(1. College of Information and Control Engineering, China University of Petroleum, Qingdao 266580, China;

2. Key Laboratory of Natural Gas Hydrate, Ministry of Land and Resources,

Qingdao Institute of Marine Geology, Qingdao 266071, China;

3. Laboratory for Marine Mineral Resources & Qingdao National Laboratory for Marine Science and Technology, Qingdao 266071, China)

**Abstract:** It was proposed to design an impedance analyzer based on the virtual instrument technique and an impedance analyzer was developed utilizing the automatic balance bridge impedance measurement method. A signal generating card and data acquisition card were selected to provide the exciting voltage signal and acquire the two voltage signals simultaneously with a high sampling rate, respectively. A measuring and controlling software was developed with LabVIEW to control the instruments, measure the impedance and analyze the data. It has been demonstrated through the tests that: the measurement error of impedance is below 5% with the frequency ranging from 20 Hz to 500 kHz and the impedance ranging from 1  $\Omega$  to 500 k $\Omega$ ; the frequency scanning points, displaying and saving of the measurement results can be configured flexibly and conveniently through the software. The impedance analyzer developed based on the virtual instrument technique can be used in more general applications and has a wider measurement range. It can be operated more conveniently and the function can be extended and reconfigured more easily. Furthermore, the performance can be upgraded or degraded through an appropriate selection of the signal generating and data acquisition cards and parameters of the measurement circuit according to the real requirements. The development cost is controllable and the required time is short. Therefore, the design approach for an impedance analyzer is well applicable to the development of instruments in the scientific research and teaching laboratories.

**Keywords:** impedance analyzer; virtual instrument; measuring and controlling software; impedance measurement; instrument control; design and development

收稿日期:2016-12

<sup>\*</sup> 基金项目: 中国地质调查项目(DD20160216)、国家自然科学基金(51306212)、青岛市自主创新计划(15-9-1-19-jch)、中央高校基本科研业务费专项资金(16CX05021A)、国土资源部天然气水合物重点实验室开放基金重点项目(SHW[2014]-ZD-01)资助

## 1 引言

阻抗分析仪作为阻抗测量的一种工具,在科学研究和工程领域中具有广泛的用途。常用的阻抗分析仪,如Agilent4294A、WK65xx等系列,这类仪器具有测量频率范围宽、精度高、测试速度快、测试参数全面等优点。但是这类性能优良的通用仪器价格较高、体积较大,严重限制了其应用范围。因此,不少科技人员针对各自的实际需求,自行定制开发低成本、紧凑型且性能各有特点的阻抗分析仪。李静等人<sup>[1]</sup>采用阻抗测量芯片AD5933作为下位机的硬件核心,利用其所集成的ADC、DSP和数字频率发生器DDS,结合LabVIEW开发人机交互的上位机软件,设计实现了一套阻抗分析仪,能够快速准确地测量被测元件的阻抗,但是该系统的频率测量范围较窄(低于100 kHz)、其性能的提升受到阻抗测量芯片的限制。陆飞等人<sup>[2]</sup>利用常规的信号发生器、数字示波器等测量仪器,基于虚拟仪器技术设计了阻抗分析仪,实现了对超声换能器阻抗特性参数的测量,该系统具有测量过程自动化程度较高的优点,但是采用常规的测量仪器使得系统控制过程较为复杂、性能扩展不便。刘俊杰等人<sup>[3]</sup>将STM32作为主控芯片设计了一种小型阻抗分析仪,可在指定的频率点或频带内测量待测单口网络各参数,但该系统的硬件电路较为复杂、阻抗测量范围较小(50 Ω~50 kΩ)。

本系统采用自动平衡电桥法、基于虚拟仪器技术设计并开发了一台阻抗分析仪。该阻抗分析仪采用信号发生卡PCI-1721输出20 Hz~500 kHz的正弦电压激励信号,采用数据采集卡PCI-1714进行同步数据采集,以LabVIEW为平台开发图形化的测控软件来实现板卡控制和阻抗测量。该分析仪阻抗测量范围为1 Ω~500 kΩ,测量误差小于5%,测量结果(如阻抗模值、相角、电阻、电抗等参数)可通过软件界面进行灵活设置并以多种格式进行实时显示和保存。该阻抗分析仪通用性和扩展性强、测试范围较广、操作简单便捷、成本较低。

## 2 阻抗分析仪设计与开发

### 2.1 整体设计及阻抗测量原理

#### 2.1.1 整体设计

所设计阻抗分析仪的结构包括4部分:信号发生、外部接口电路、数据采集和工控机。信号发生部分输出幅值可调的扫频正弦电压信号作为激励信号,外部接口电路部分主体为两个反向运算放大电路,将被测装置(device under test, DUT)的阻抗值转化为两路输出电压之间的关系,数据采集部分实现对两路输出电压的高速同步采集。工控机是整个系统的核心部分,以LabVIEW为平台开发测控软件实现对硬件信号发生卡和数据采集卡的控制,完成信号的发生、数据的采集以及后期数据的分析处理、显示和保存。系统整体结构如图1所示。

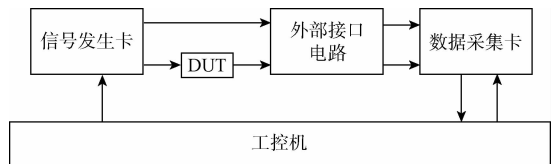


图1 阻抗分析仪系统结构

所开发的阻抗分析仪的性能指标有:1)频率扫描范围:20 Hz~500 kHz;2)测量参数类型:阻抗、相角、电阻、电抗;3)阻抗测量范围:1 Ω~500 kΩ;扫频方式:线性、对数;扫描方向:向下、向上;扫描点数:至少为2个(软件可调节);测量误差:5%。

#### 2.1.2 阻抗测量原理

阻抗测量常用有I/V法、谐振法、网络分析法、自动平衡电桥法等<sup>[4-5]</sup>,每种方法都有各自的特点和使用范围。I/V法可测接地器件,但工作频率受到探头互感线圈的限制;谐振法可测高Q值,但测量的过程中需要调节到谐振,阻抗测量精度低<sup>[6]</sup>;网络分析法适用于较宽的频率范围,但阻抗测量范围窄,被测阻抗接近于特性阻抗50 Ω时才能有较高的精度;自动平衡电桥法不但可以实现从低频到高频(20 Hz~110 MHz)的频率覆盖,而且阻抗测量范围广、精度高,应用领域也较广泛,适合于通用元件的测量<sup>[7]</sup>。本系统采用自动平衡电桥法,实现该测量方法的外部接口电路原理如图2所示。

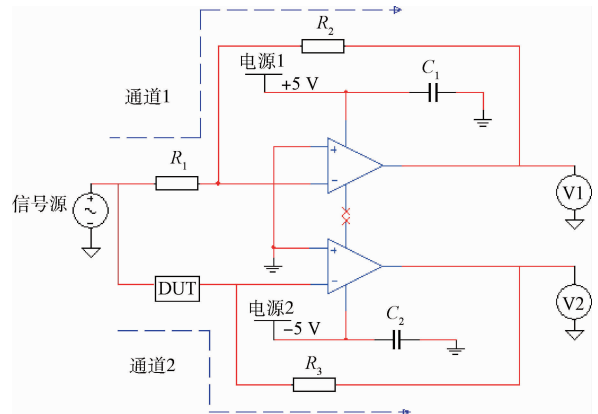


图2 阻抗测量接口电路原理

信号源产生的正弦电压信号 $V$ 分别通过两个运放电路,经过通道1的电压信号经过运放后输出的电压值为 $V_1$ ,经过通道2的电压信号经过运放后输出的电压信号值为 $V_2$ 。对于通道1和通道2可得到式(1)和(2)。

$$(V-0)/R_1 = (0-V_1)/R_2 \quad (1)$$

$$(V-0)/Z_{DUT} = (0-V_2)/R_3 \quad (2)$$

式中: $V$ 为正弦电压信号, $Z_{DUT}$ 为DUT阻抗值, $V_1$ 和 $V_2$ 分别为通道1和通道2输出的电压信号。

电路中 $R_1$ 和 $R_2$ 值相等,化简式(1)和(2)得到DUT的阻抗模值计算式,即式(3)。

$$Z_{DUT} = \frac{|V_1|}{|V_2|} R_3 \quad (3)$$

$V_1$  和  $V_2$  为同步采集的信号,利用快速傅里叶变换(FFT)谱分析法对  $V_1$  和  $V_2$  进行频谱分析分别得到两个信号的相位<sup>[8]</sup>,DUT 阻抗的相角由式(4)计算:

$$\varphi_z = \varphi_{v1} - \varphi_{v2} \quad (4)$$

式中: $\varphi_{v1}$  为信号  $V_1$  的相位,  $\varphi_{v2}$  为信号  $V_2$  的相位。

阻抗的实部(电阻)和虚部(电抗)分别为:

$$R = |Z_{DUT}| \cos \varphi_z \quad (5)$$

$$X = |Z_{DUT}| \sin \varphi_z \quad (6)$$

式中: $R$  为阻抗实部,  $X$  为阻抗虚部。

根据式(3)可知  $Z_{DUT}$  的测量值和  $R_3$  有关,  $R_3$  是标准电阻,具有选择量程的作用,本系统中  $R_3$  的值可为 1  $\Omega$ 、10  $\Omega$ 、100  $\Omega$ 、1 k $\Omega$ 、10 k $\Omega$  和 100 k $\Omega$ 。在输入正弦电压信号幅值  $V$  一定时(即  $V_1$  一定时),当  $Z_{DUT}$  的阻抗值相对于  $R_3$  过小,会使  $V_2$  值超过数据采集卡的允许输入范围;当  $Z_{DUT}$  的阻抗值相对于  $R_3$  过大,  $V_2$  值相对较小,会使测量值有较大的误差。理论上  $Z_{DUT}$  和  $R_3$  的值越接近,  $Z_{DUT}$  测量值越准确。

## 2.2 硬件实现

### 2.2.1 信号发生

阻抗分析仪工作时需要在 DUT 上施加扫频正弦电压信号作为激励信号。本系统采用的 PCI-1721 是一款模拟量输出卡,每个模拟量输出通道均带有一个 12 位的 DAC,可以输出 20 Hz~500 kHz 频率范围内幅值可调的正弦电压信号,共有 4 个输出范围(0~+5 V, 0~+10 V, -5~+5 V, -10~+10 V)可供选择。PCI-1721 支持 PCI 总线 DMA 功能,可用于高速数据传输和无间隔的模拟量输出<sup>[9]</sup>。PCI-1721 的 I/O 接口是针脚形式,本系统通过 1 m 的线缆将 PCI-1721 和接线端子板相连,从而方便 DUT 和外部接口电路与该信号发生卡的连接。

### 2.2.2 数据采集

本系统需要对外部接口电路输出的  $V_1$  和  $V_2$  进行同步数据采集,正弦电压激励信号的频率范围为 20 Hz~500 kHz,考虑到工程上一般要求采样频率为待测信号的 5~10 倍,因此要求数据采集卡的最低采样频率为 2.5 MHz。输入信号的电压范围需要根据待测信号的大小进行灵活调节,板卡需要有一定的板载内存,以便在高速采样时能够有足够的缓冲区暂存数据。为了满足以上要求,采用 PCI-1714 高速数据采集卡,最高采样频率为 30 MHz,可实现 4 路单通道隔离模拟量输入数据采集。该采集卡每个通道均配置 12 位 A/D 转换器,从而支持 4 路同步采样;每个通道带有 32 k 的板载 FIFO 存储区,能够以 DMA 的方式将数据从 FIFO 经过 PCI 总线传到内部缓冲区中,确保数据传输具有最佳的速度和数据完整性<sup>[10]</sup>;具有 4 种输入范围( $\pm 5$ 、 $\pm 2.5$ 、 $\pm 1$  和  $\pm 0.5$  V)可供选择。

## 2.3 软件实现

### 2.3.1 程序流程与前面板

软件是该阻抗分析仪的重要组成部分。PCI-1721 和 PCI-1714 板卡的驱动程序为用户提供能够对硬件设备直接进行 I/O 操作的函数。本系统采用虚拟仪器技术,通过图形化编辑语言 LabVIEW 开发测控软件<sup>[11-12]</sup>,来实现扫频正弦电压激励信号输出和同步数据采集的功能,并对采集的数据进行滤波和分析计算得到 DUT 的阻抗、相角、电阻、电抗等参数,将测量结果以数字、图形的方式实时显示在前面板上并保存到指定的文件夹中。阻抗测试软件的工作流程图如图 3 所示。

前面板作为用户操作界面,设置硬件板卡相关参数,定义各种控件并显示测量结果<sup>[13]</sup>,共分为 3 个模块:信号发生模块、数据采集和处理模块、数据显示和保存模块,如图 4 所示。

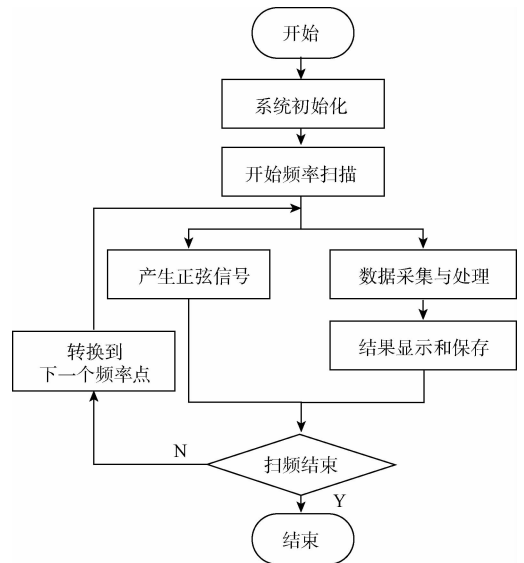


图3 阻抗分析仪软件工作流程

### 2.3.2 各功能模块

信号发生模块中需要设置的主要参数有信号输出通道、频率扫描范围、扫频方式、扫描点数、信号幅值。PCI-1721 共有 4 个输出通道,所选择的通道需要与外部接口电路相连接的通道保持一致。该阻抗分析仪设置的最大扫频范围是 20 Hz~500 kHz,在测量过程中如果输入的频率数值超出此范围,运行程序时报警指示灯会亮起并发出警告“输入频率不满足要求”,则需要重新输入。扫频方式有线性扫描和对数扫描两个选项,用户可在下拉列表选择;扫描的方向分为向上扫描和向下扫描,当输入的起始频率小于结束频率时进行向上扫描,反之则为向下扫描。扫描的点数在起始频率和结束频率之间满足步长至少为 1 Hz 的情况下任意设置,相较于现有阻抗分析仪有限数量的扫描点数,具有更高的灵活性。信号的幅值在 0~5 V 内可通过旋钮控件进行调节,每个频率点输出信号的长度通过改变输出通道数据

输出的个数来控制。完成上述设置后,PCI-1721 板卡在程序运行时会输出符合要求的正弦电压激励信号。

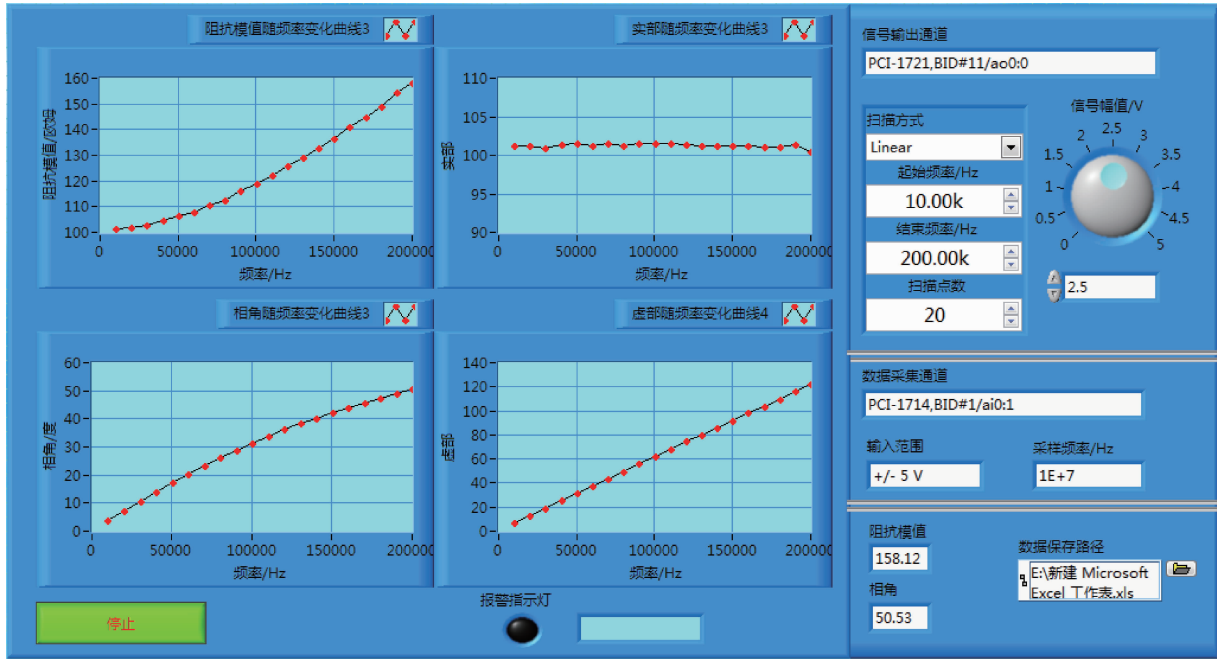


图 4 阻抗分析仪软件前面板

数据采集和处理模块中首先需要对数据采集参数进行设置,包括采集通道、输入范围和采样频率。经过外部接口电路输出的  $V_1$  和  $V_2$  连接 PCI-1714 板卡的两路模拟输入通道,需要将采集通道设置为双通道来进行同步采样。输入范围通常设置为最大的可输入范围(即  $\pm 5\text{ V}$ ),以便能够采集较大范围内的输入信号。采样频率由软件自动调节并设置,即采样频率随激励信号频率的变化而变化,当激励信号频率较低时设置较低的采样频率,以提高运行速度并缩减存储空间。当激励信号频率处于  $20\sim 10\text{ kHz}$  范围内,设置采样频率为  $1\text{ MS/s}$ ;  $10\text{ kHz}\sim 200\text{ kHz}$  范围内采样频率为  $10\text{ MS/s}$ ;  $200\sim 500\text{ kHz}$  范围内采样频率为  $20\text{ MS/s}$ 。

为了减小噪声的干扰,提高阻抗测量的准确性,在软件中采用数字滤波器对  $V_1$  和  $V_2$  的采集数据进行滤波处理。考虑到信号相位对于阻抗值计算的重要性,因此选择具有线性相位特性的滤波器<sup>[14]</sup>。所采用的数字滤波器为 FIR 带通滤波器,滤波器的中心频率为激励信号的频率,测试过程中根据激励信号的频率自动调节并设定,低截止频率和高截止频率的设置根据中心频率的大小适当设置。经过滤波后的  $V_1$  和  $V_2$  用于计算 DUT 的阻抗。

数据显示和保存模块主要用于实时显示和保存阻抗的模值、相角、电阻、电抗等参数。以数字和图形的方式将每个频率点下的阻抗测量值在前面板进行显示,图形显示界面上  $x$  和  $y$  标尺都设置为自动调节,当曲线填满显示区后会通过左移来更新曲线。将测量结果保存到指定文件是一个写文本文件的过程,需要确定所保存文件的格式、

路径和文件名,当文件路径为空或为非法路径时会弹出文件对话框提醒用户。

### 3 阻抗分析仪测试

为了测试所开发的阻抗分析仪的阻抗测量性能,以串联/并联的常用电路元件为被测对象(DUT),分别应用本阻抗分析仪和网络分析仪 E5061B 进行了测量,并将测量结果与理论计算值进行了比较。

1)以标称为  $100\ \Omega$  的电阻和  $100\ \mu\text{H}$  的电感串联作为被测对象,通过本阻抗分析仪和 E5061B 进行测量所得的阻抗模值和相角随测试频率变化的曲线以及理论计算值曲线如图 5~8 所示。激励信号的频率范围是  $20\text{ Hz}\sim 500\text{ kHz}$ ,线性扫描的点数为 400 个,图 5 和图 6 所示为每隔 15 个点取 1 个值连接而成的曲线,图 7 和图 8 所示为前 40 个扫描点每隔 2 个点取 1 个值连接而成的曲线。

由图 5 和图 6 可见,通过 3 种方式所得到的阻抗模值和相角均随着频率的增加而逐渐增加,具有相同的变化趋势。本阻抗分析仪和 E5061B 所测量得到的阻抗模值和相角均小于理论计算值,而且随着频率的增加阻抗模值的偏差逐渐增大,可能的原因是电感的实际值大于其标称值,从而导致理论计算值偏大。本阻抗分析仪和 E5061B 的测量值吻合度较好,但是在频率高于  $350\text{ kHz}$  时本阻抗分析仪测量得到的阻抗模值和相角出现不规律的波动,其中模值最大偏差为  $12.8\ \Omega$ ,相对误差为  $4.5\%$ ,相角最大偏差为  $2.0^\circ$ ,相对误差为  $2.7\%$ 。图 7 和图 8 是在频率低于  $50\text{ kHz}$  范围内的测量结果,可以看出本系统相较于

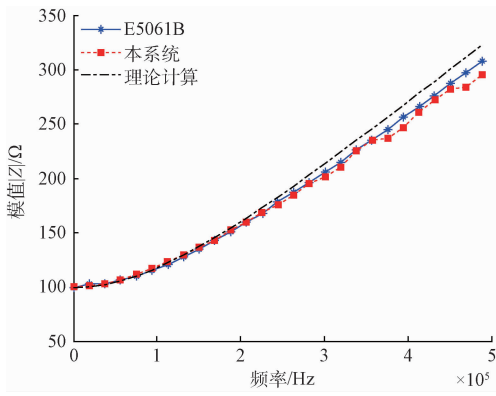


图5 20 Hz~500 kHz 范围内 RL 串联阻抗模值变化曲线

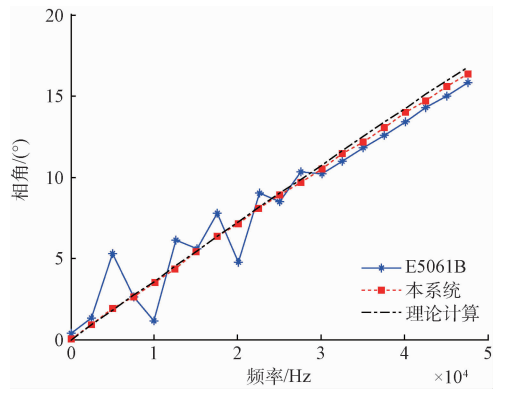


图8 小于 50 kHz 范围内 RL 串联阻抗相角变化曲线

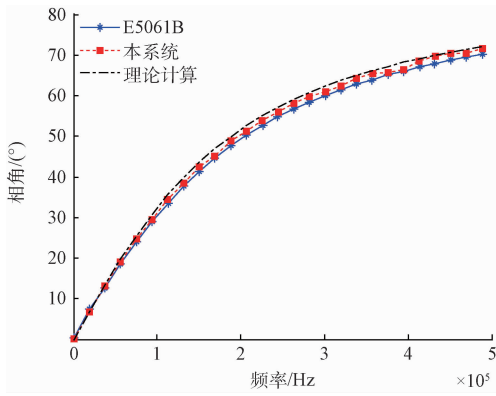


图6 20 Hz~500 kHz 范围内 RL 串联阻抗相角变化曲线

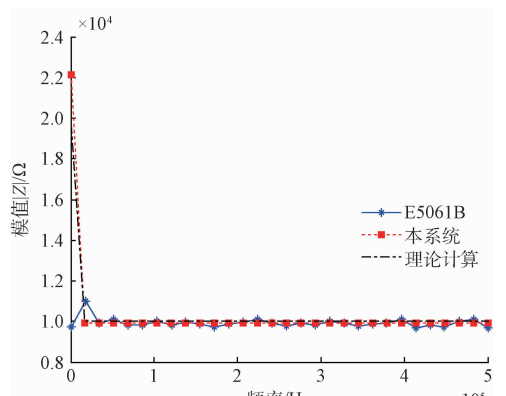


图9 20 Hz~500 kHz 范围内 RC 串联阻抗模值变化曲线

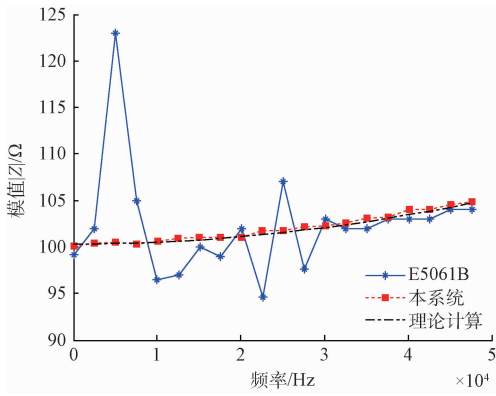


图7 小于 50 kHz 范围内 RL 串联阻抗模值变化曲线

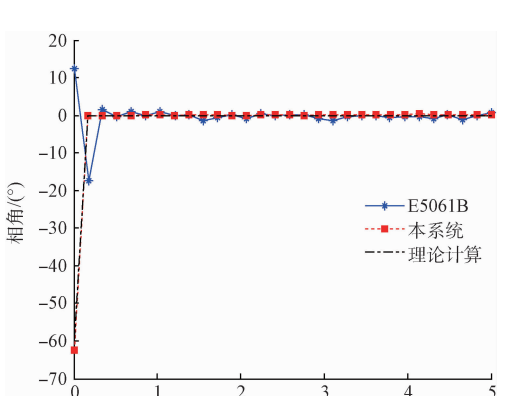


图10 20 Hz~500 kHz 范围内 RC 串联阻抗相角变化曲线

E5061B 的测量值在频率较低时更加稳定和准确。

2)以标称为 10 kΩ 电阻和 470 nF 的电容并联作为被测对象,通过本阻抗分析仪和 E5061B 进行测量所得的阻抗模值和相角随测试频率变化的曲线以及理论值曲线如图 9~图 12 所示。其中图 9 和图 10 激励信号的频率范围是 20~500 kHz,图 11 和图 12 激励信号的频率范围是 20 Hz~3 kHz,扫描的点数均为 30 个。

由图 9 和图 10 可见,本阻抗分析仪和理论计算的阻抗

模值均随着频率的增加而迅速降低,相角随着频率的增加而迅速增加,最后均趋于稳定。E5061B 的测量值在频率低于 40 kHz 时有较大的波动,但在频率高于 50 kHz 时与另外两条曲线吻合度较好。与 E5061B 相比较,当频率高于 50 kHz 时本阻抗分析仪得到的阻抗模值最大偏差为 282.2 Ω,相角最大偏差为 1.6°。图 11 和图 12 为频率 20 Hz~3 kHz 范围内通过 3 种方式得到的测量结果,可见频率较低时本阻

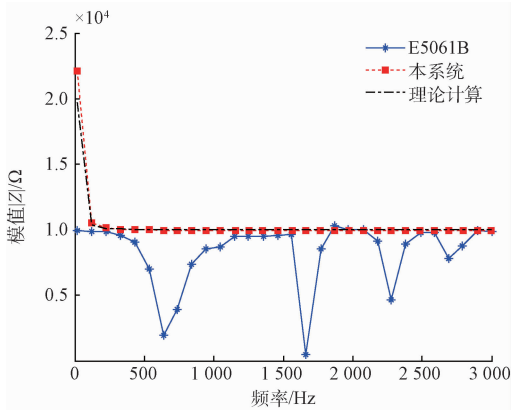


图 11 20 Hz~3 kHz 范围内 RC 串联阻抗模值变化曲线

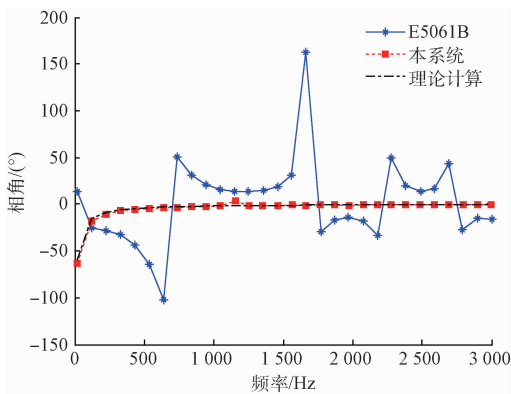


图 12 20 Hz~3 kHz 范围内 RC 串联阻抗相角变化曲线

抗分析仪比 E5061B 的测量值更加稳定和准确。

## 4 结 论

本文提出了一种基于虚拟仪器技术的阻抗分析仪设计方法,采用自动平衡电桥阻抗测量法开发了一台阻抗分析仪。该阻抗分析仪利用信号发生卡 PCI-1721 输出电压激励信号、采用高速数据采集卡 PCI-1714 进行两通道电压同步采集、以 LabVIEW 为平台开发图形化的测控软件来实现仪器板卡控制、阻抗测量以及数据分析和处理。经过测试并与商用网络分析仪 E5061B 测量结果进行了比较,结果显示:在频率 20 Hz~500 kHz、阻抗 1 Ω~500 kΩ 范围内,该阻抗分析仪测量误差小于 5%;尤其在频率较低时(对于感性被测对象低于 50 kHz 时、对于容性被测对象低于 3 kHz),该阻抗分析仪测量值更加稳定和准确;该阻抗分析仪频率扫描点数、测量结果(如阻抗模值、相角、电阻、电抗等参数)的显示和保存方式可通过软件进行灵活配置。

基于虚拟仪器技术的阻抗分析仪通用性和扩展性强、测试范围广、操作简单便捷。根据实际的测量需求,如测试频率范围、阻抗测量范围、测量精度等,可灵活选择不同

性能指标的信号发生卡、数据采集卡以及阻抗测量电路元件参数,开发成本可控且开发周期短,可广泛应用于科研和教学实验室仪器的开发。

## 参考文献

- [1] 李静,陈世利,靳世久. 基于 AD5933 的阻抗分析仪的设计和实现[J]. 现代科学仪器, 2009(2): 28-30,56.
- [2] 陆飞,郭建中. 基于虚拟仪器的超声换能器阻抗分析仪设计[J]. 压电与声光, 2011(3): 425-428.
- [3] 刘俊杰,杨卫东,李涛. 一种小型阻抗分析仪的设计[J]. 电子制作, 2015(13): 67-69.
- [4] 任庆芳,宋智,薛严冰. 基于 AD8302 的简易阻抗测量仪[J]. 电子测量技术, 2016, 39(2):106-110.
- [5] 彭海军. 基于 DDS 的信号相位同步设计技术[J]. 国外电子测量技术, 2016, 35(4):95-98.
- [6] 吴斌,王鹤云,刘秀成,等. 基于虚拟示波器的涡流应力测量装置研制[J]. 仪器仪表学报, 2015, 36(12):2828-2834.
- [7] 尹虎承. 基于自动平衡电桥方法阻抗测量系统的研究[D]. 哈尔滨:哈尔滨工业大学, 2010.
- [8] 苗立交,杨新华. 基于 LabVIEW 的相位差测量技术的研究与实现[J]. 电子测量技术, 2010, 33(6): 79-81.
- [9] 栾宝宽,周鹏. 仿真系统中基于 PCI1721 的信号测试设计[J]. 电子设计工程, 2013(7): 17-19.
- [10] 杨勃,欧阳竟成. 超声数据采集系统设计[J]. 计算技术与自动化, 2013(1):134-136.
- [11] 吕富勇,周瑞卿,阮世阳,等. 基于虚拟仪器的空间磁场分布检测装置设计[J]. 电子测量技术, 2015, 38(11):79-84.
- [12] 刘正琼,胡丽莉,唐璇,等. 基于虚拟仪器的肢体姿态检测系统研究[J]. 电子测量与仪器学报, 2015, 38(6):907-913.
- [13] 潘红,李冶,郭睿楠,等. 基于 LabVIEW 和 FPGA 的多功能虚拟频谱分析仪设计[J]. 实验室研究与探索, 2014, 33(12): 66-71.
- [14] 赵颖,刘祖深,李胜寅. 基于 MATLAB 的 FIR 数字滤波器的方法设计[J]. 国外电子测量技术, 2012, 35(10): 35-37.

## 作者简介

祁雨,1992 年出生,硕士研究生,研究方向为检测技术与自动化装置。

邢兰昌(通讯作者),1983 年出生,博士,副教授,研究方向为检测技术与自动装置、计算机测控系统。

E-mail: xingle@upc.edu.cn